

# Einzel-Photon Quellen

## Einzel-Photon Quellen

Information kann in Form  
des Polarisationszustands einzelner  
Photonen übertragen werden.

Beim "Ablösen" der Information  
wird der Quantenzustand des  
Photons zerstört

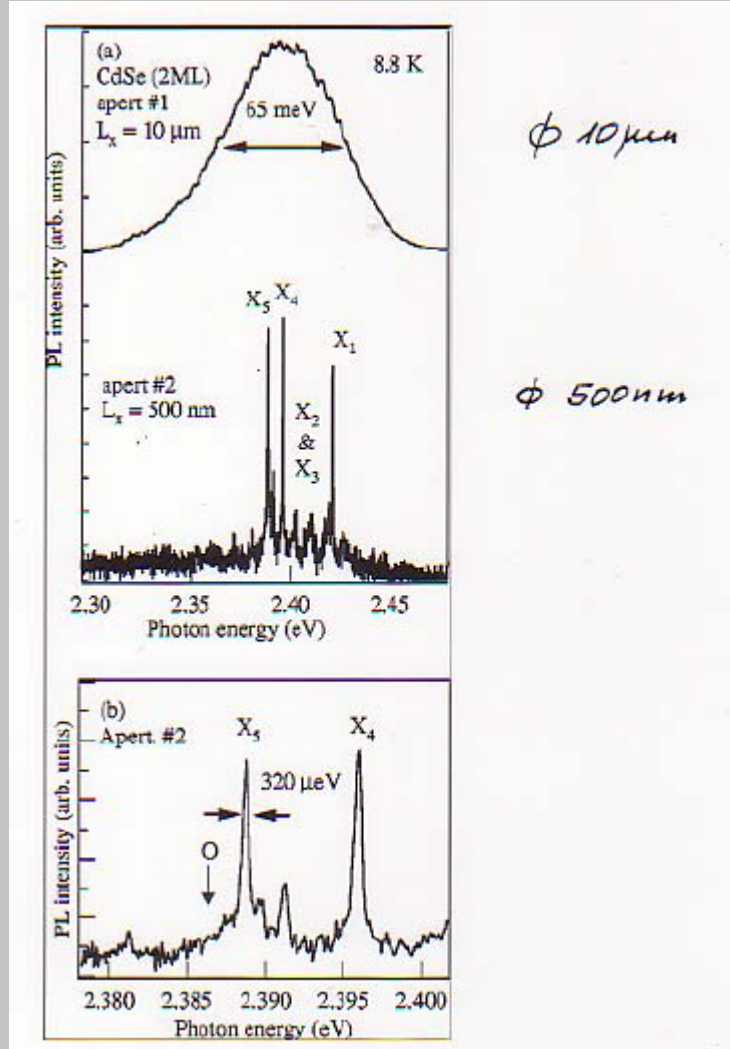
⇒ Sichere Quantenkryptographie

Herstellung von Einzelphotonen:

Abgeschwächter Laserimpuls, und allerdings  
deutlich unter 1 Photon / Puls  
abgeschwächt werden ( $\sim 100 \text{ Pulse} \rightarrow 1 \text{ Photon}$ )

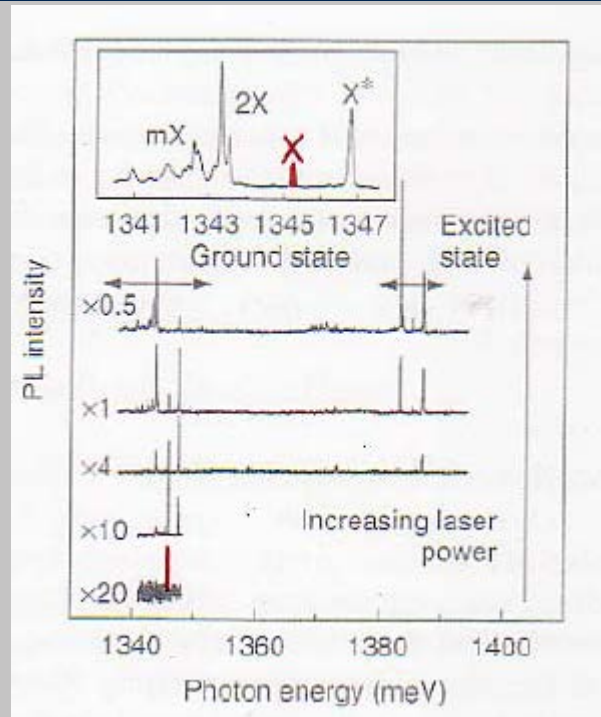
besser: Single Quantum Dots

# CdSe QDs



Photolumineszenz spektren von 8.8 K CdSe QDs im Tüse. Die Proben waren mit Metallmasken bedeckt

# Exziton - Zustände



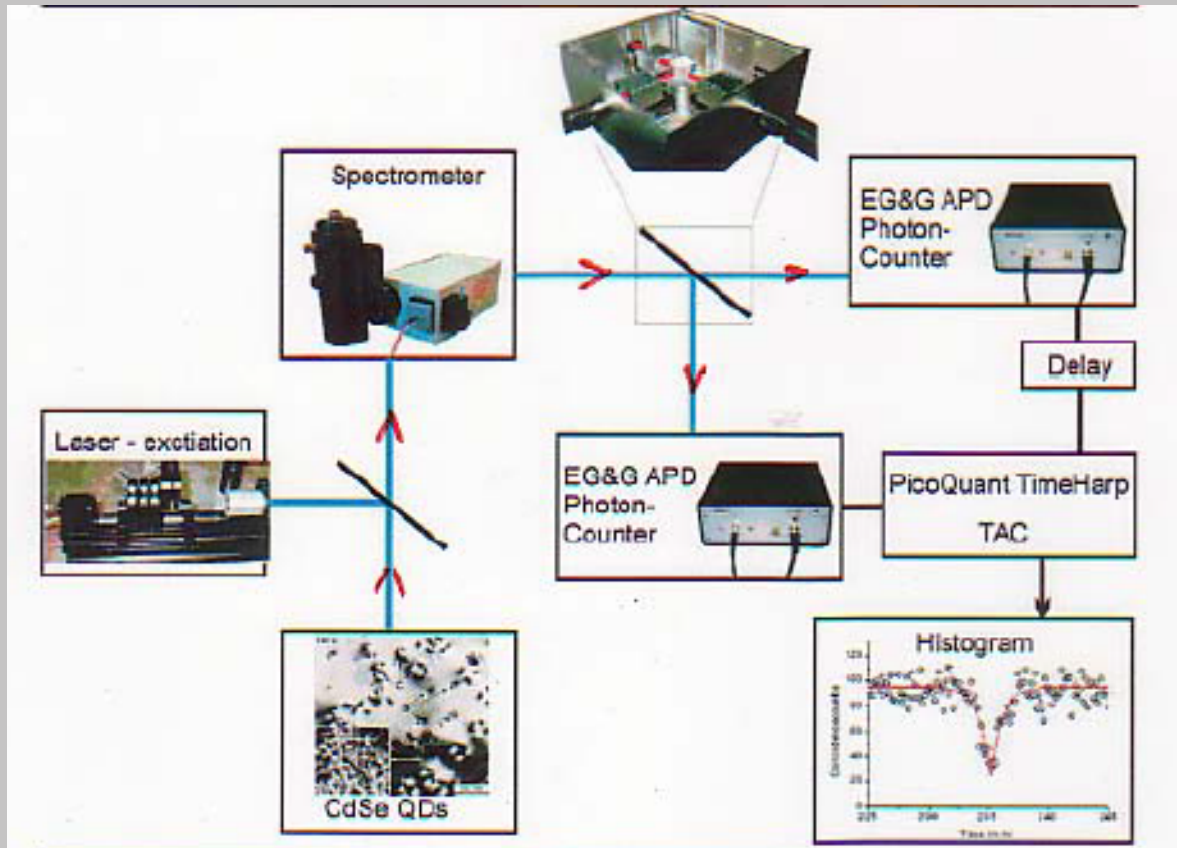
Photolum. eines einzelnen QD  
als Funktion der Anregungsint.

X = Exziton :

$X^*$  = pos. geladenes Exz.  $\overset{-}{\circ} \overset{+}{\circ}$

2X = Biexziton  $\overset{\circ}{\circ}$

# Hanbury-Brown – Twist



Messung der Autokorrelationsfunktion  
von Einzelphotonenquellen (QD)

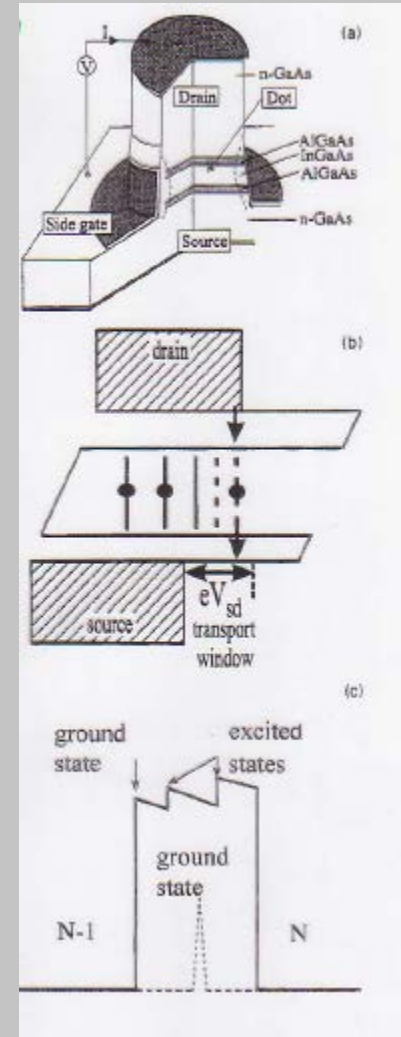
# QD - transistor

Transistoren aus einem QD

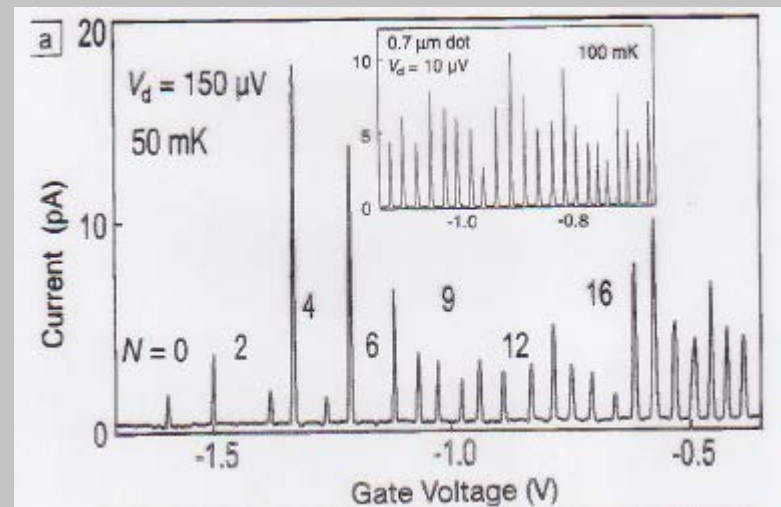
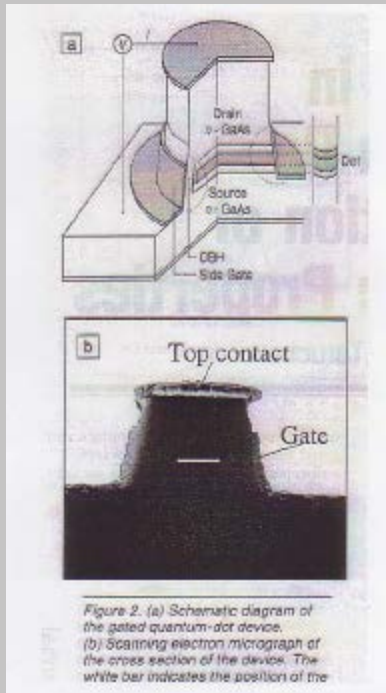
Bei Stromtransport wird die Energie wichtig, die benötigt wird um ein Elektron in den QD zu bringen

$\Rightarrow$  Coulomb Blockade

Single electron transistor



# QD - transistor



## Kolloidale QDs

f) Selbstorg. Bildung von kolloidalen mikrokristallinen QDs.

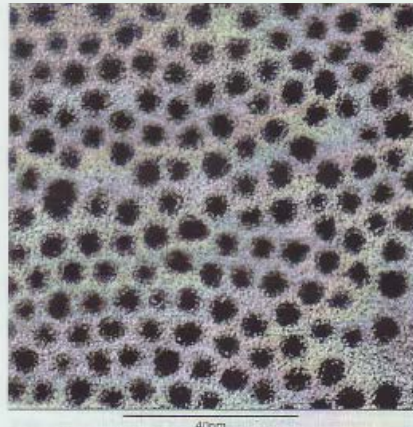


Figure 9: Transmission electron microscopy of hexagonal ordered array of 57 Å size QDs capped with carboxylate formed by slow evaporation of the QD colloidal solution.

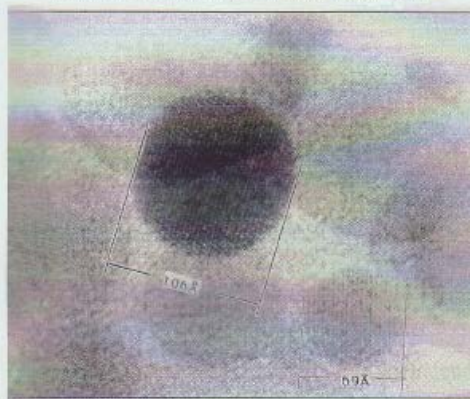


Figure 10: Transmission-electron-microscopy lattice image of GaAs QDs (from Reference 30).

⇒ QDs haben unterschiedliche Radien  
⇒ inhomogene Verbreitung der PL

# Exzitonenergie vs. Radius

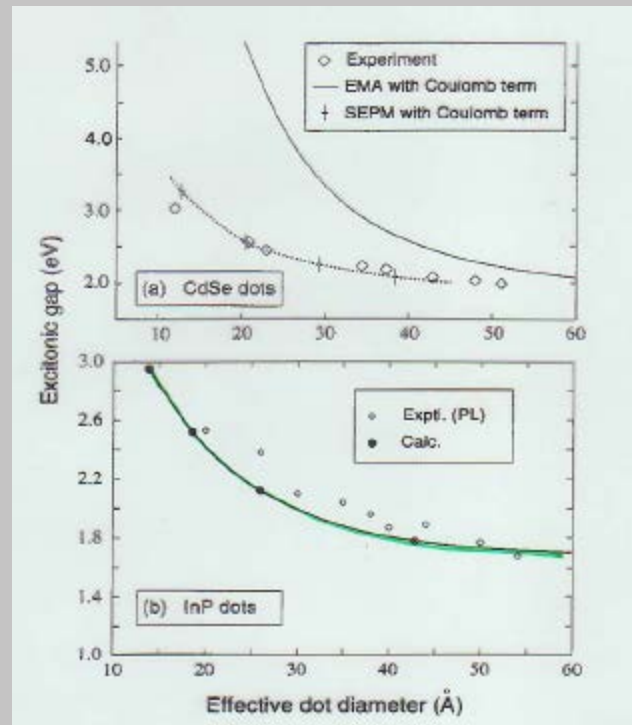


Figure 6. Calculated<sup>17,34</sup> and measured<sup>33,35</sup> excitonic gaps of (a) CdSe<sup>34,35</sup> and (b) InP<sup>17,33</sup> dots.

Exziton - Energie vs. Radius  
von sph. QD

# Linienbreite

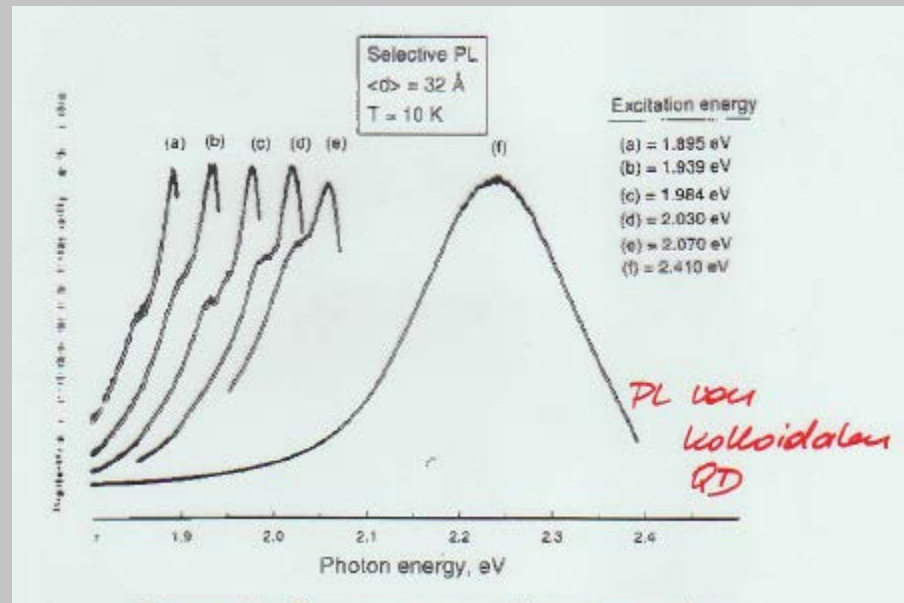
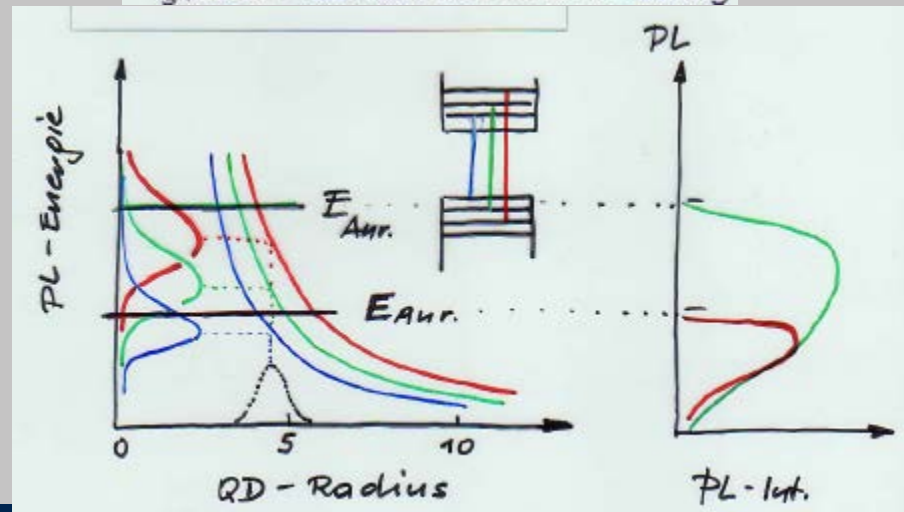


Figure 6. Fluorescence-line narrowing

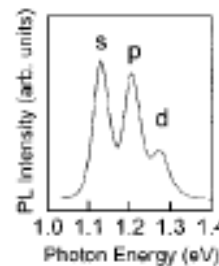


# Optische Übergänge in einzelnen QDs

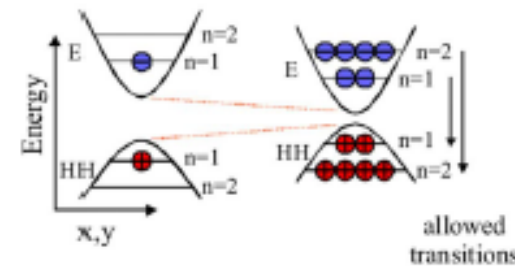
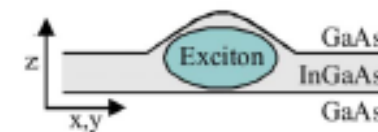
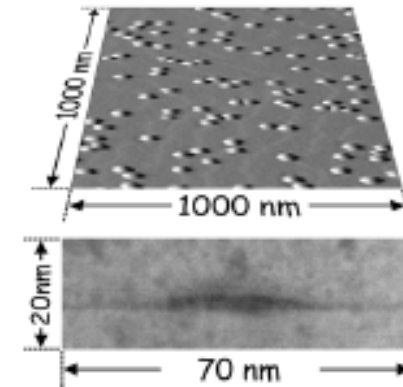
## 8.2. Optische Übergänge in einzelnen Quantenpunkten

Beispiel: Selbstorganisierte InGaAs Quantenpunkte in einer GaAs Matrix:

- Inhomogen verbreitertes System (als Ensemble)  
(Spektrale Verbreiterung durch Fluktuationen in Größe und Zusammensetzung etwa 20 meV)



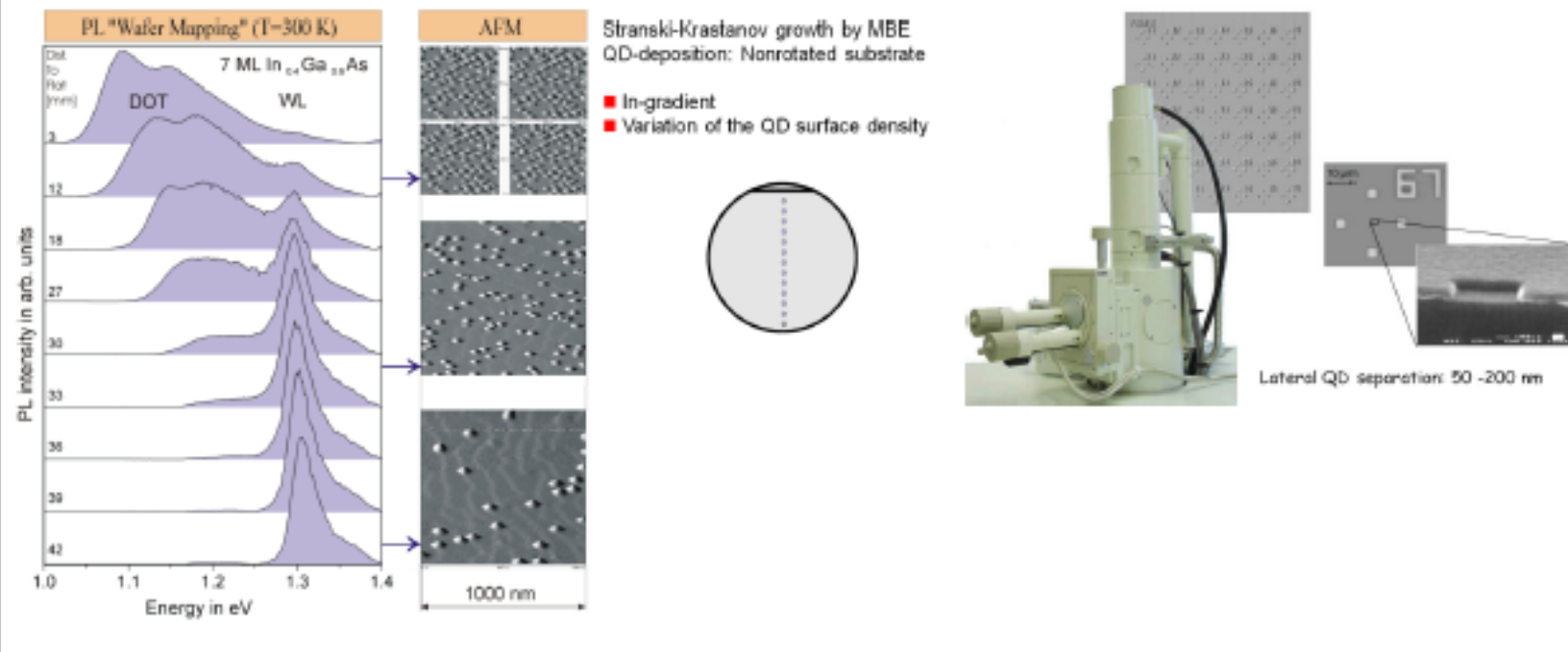
- Praktisch keine Defekte (keine Versetzungen QE → 1)
- Durchmesser der Quantenpunkte (ca. 20nm) größer als deren Höhe (ca. 5nm)  
→ Quantenscheiben mit Schalenentartung  $v=2n$   
( $n=1, 2, 3 \dots$  entsprechend s, p, d, ...)
- Energieskalen:  
Grundzustand-Exziton Energie ~1.3 eV  
Exzitonischer Schalenabstand [ $E(2 \rightarrow 2) - E(1 \rightarrow 1)$ ] 30 meV bis 100 meV
- Mehrteilchen-Zustände sind renormalisiert  
(durch Coulomb-, Austausch- und Korrelationsenergie)



# QDs

## Optischer oder elektrischer Zugang zu einzelnen Quantenpunkten:

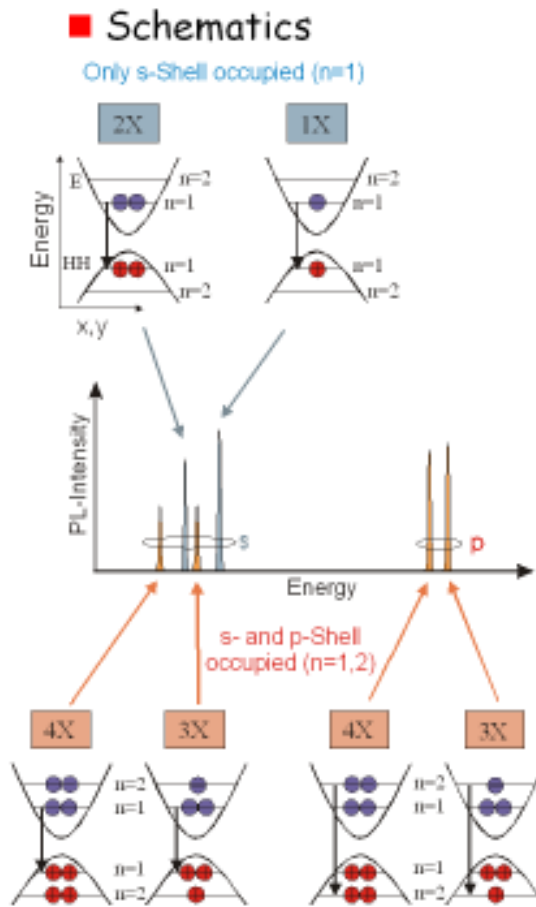
- Wachstum geringer Flächendichten von Quantenpunkten ( $<10 \text{ pro } \mu\text{m}^2$ ), Selektion durch Tieftemperatur-Mikroskopie
- Verwendung von Schattenmasken, die mittels Elektronenstrahlolithographie hergestellt sind (100 – 500 nm Durchmesser)
- Wachstum auf vorstrukturierten Templaten
- STM-induzierte Lumineszenz
- ...



# Multi-Exziton Zustände

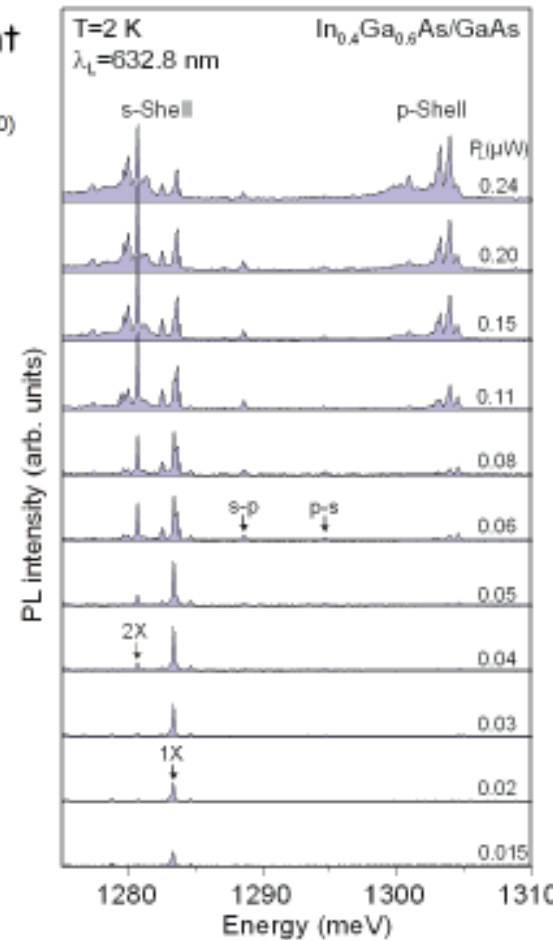
## Sequentieller Zerfall renormalisierter Multiexziton-Zustände:

→ Diskrete Übergangsentnergien für Zerfälle aus unterschiedlichen Konfigurationen



## Experiment

F. Findeis et al.,  
SSC 114, 227 (2000)



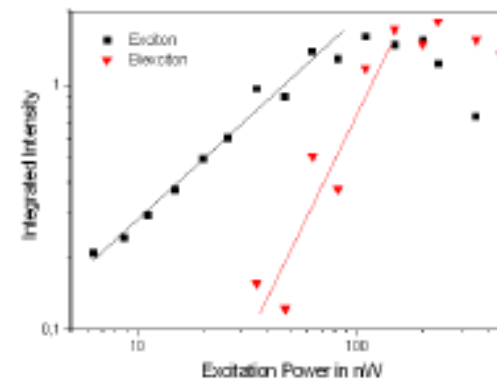
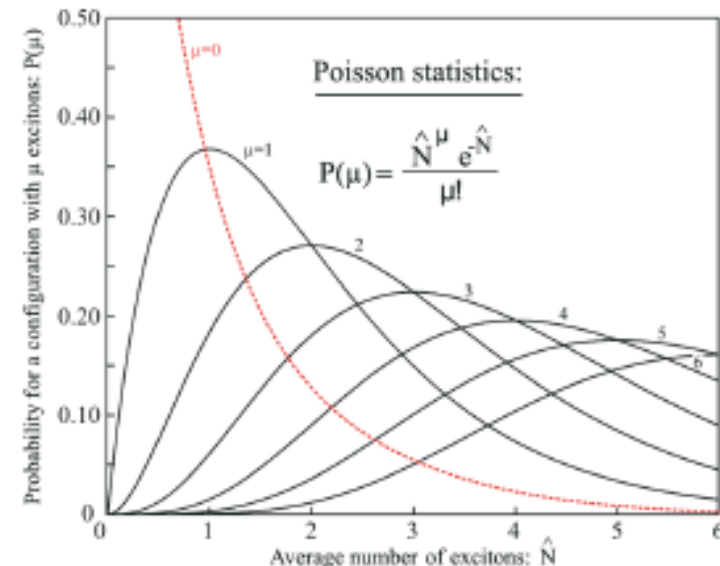
# Statistik

## Nicht-resonante optische Anregung:

Durch Variation der Intensität der Laseranregung kann lediglich der statistische Mittelwert der Besetzung  $\hat{N}$  eines Quantenpunkts (Besetzung mit einer bestimmten Anzahl von Exzitonen) verändert werden.

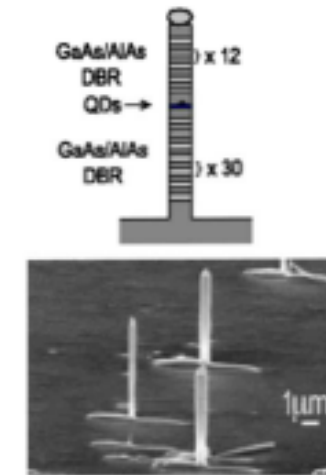
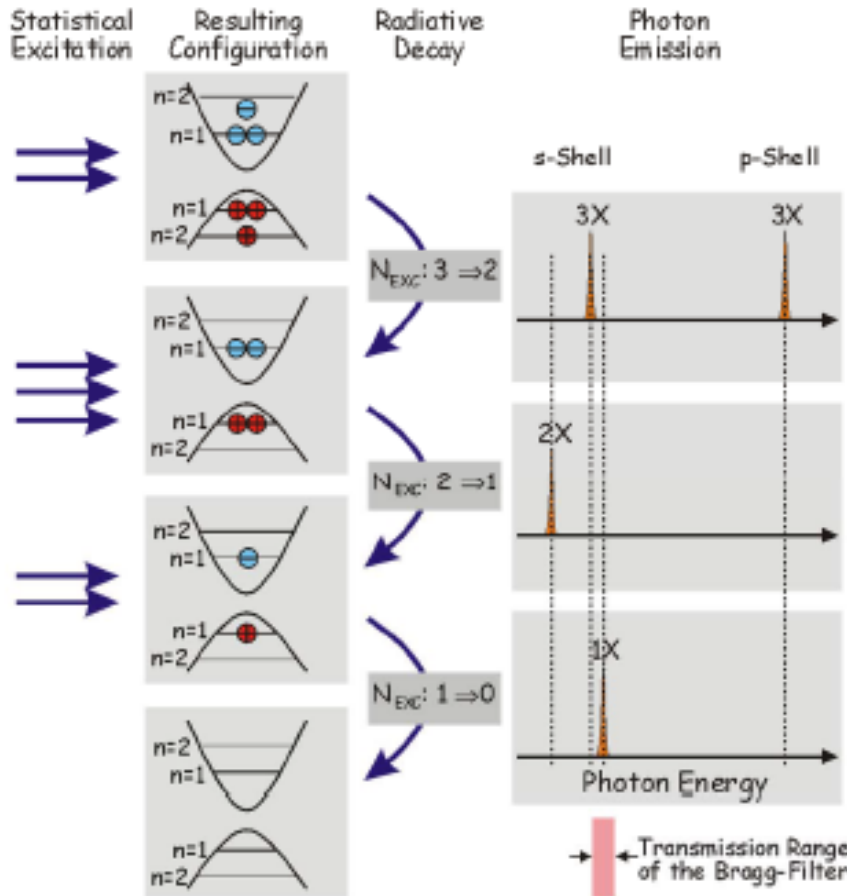
Die Wahrscheinlichkeit  $P(\mu)$  für das Auftreten einer bestimmten Konfiguration mit  $\mu=0, 1, 2, \dots$  Exzitonen wird durch die Poisson-Statistik beschrieben.

Das Exziton ( $\mu=1$ ) zeigt für  $\hat{N} \rightarrow 0$  eine lineare Intensitätsabhängigkeit, das Biexziton ( $\mu=2$ ) eine quadratische Intensitätsabhängigkeit.



# Prinzipdarstellung einer Einzelphoton Quelle

## Prinzipdarstellung einer Einzelphoton-Quelle:

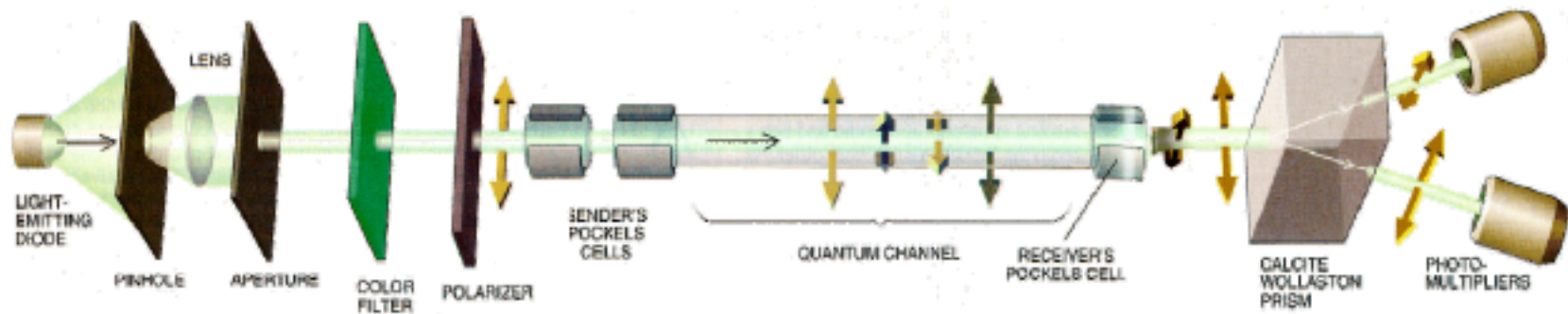


Suggested by: J. M. Gérard and B. Gyral, J. Lightwave Technol. 17, 2089 (1999)

# Quanten-Kryptographie

## 8.3. Quanten-Kryptographie

(einfache Form nach Bennett, Brassard, Crick, Scientific American, October 1992, p. 26)



QUANTUM SYSTEM can distribute information in perfect secrecy. The transmitter produces faint flashes of green light from a light-emitting diode. The pinhole, lens and filter create a collimated beam of dim flashes. The light is then polarized horizontally. Two Pockels cells change the polarization to 0,

45, 90 or 135 degrees. The polarized light flashes are released from the transmitter and eventually reach the receiver. There another Pockels cell shifts the polarization by either 45 degrees or not at all. The action of this Pockels cell allows the receiver to choose between measuring rectilinear or diagonal

polarization. In the rectilinear case, a horizontally polarized photon will be directed toward the right photomultiplier; a vertically polarized photon will be directed toward the left photomultiplier.

**Informationsträger: Einzelne Photonen mit definiertem Polarisationszustand**

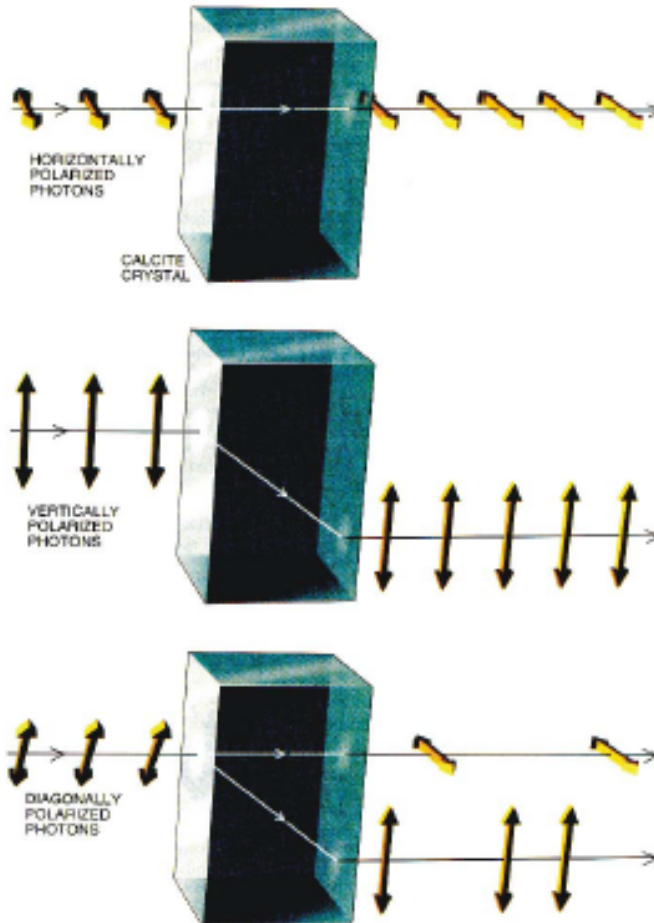
Grundlegende Eigenschaft des Einzelphoton-Emitters:

- Deterministische Emission einzelner Photonen in eine gegebene Richtung und Mode
- Die Anzahl der Photonen pro Puls (Bit) sollte eins sein, nie zwei oder mehr

Momentan gängige Lösung:

- Gedämpfte Emitter (z.B. LEDs) mit einer statistischen Emission von <0.1 Photonen pro Puls

# Quantum Key Distribution

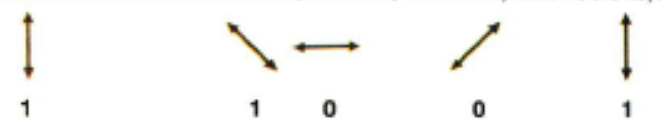


## Quantum Key Distribution

A quantum cryptographic system will allow two people, say, Alice and Bob, to exchange a secret key. The system includes a transmitter and a receiver. Alice uses the transmitter to send photons in one of four polarizations: 0, 45, 90 or 135 degrees. Bob uses the receiver to measure the polarization. According to the laws of quantum mechanics, the receiver can distinguish between rectilinear polarizations (0 and 90), or it can quickly be reconfigured to discriminate between diagonal polarizations (45 and 135); it can never, however, distinguish both types. The key distribution requires several steps. Alice sends photons with one of four polarizations, which she has chosen at random.

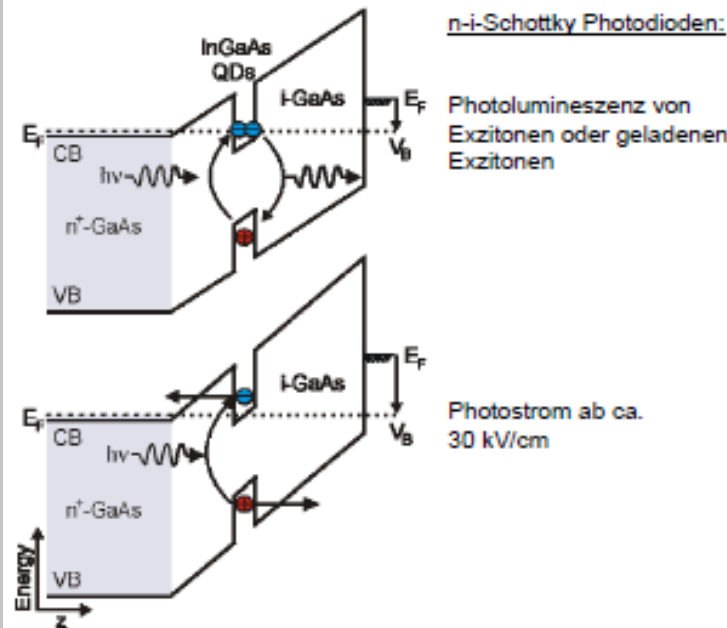


Bob publicly announces the type of measurements he made, and Alice tells him which measurements were of the correct type.

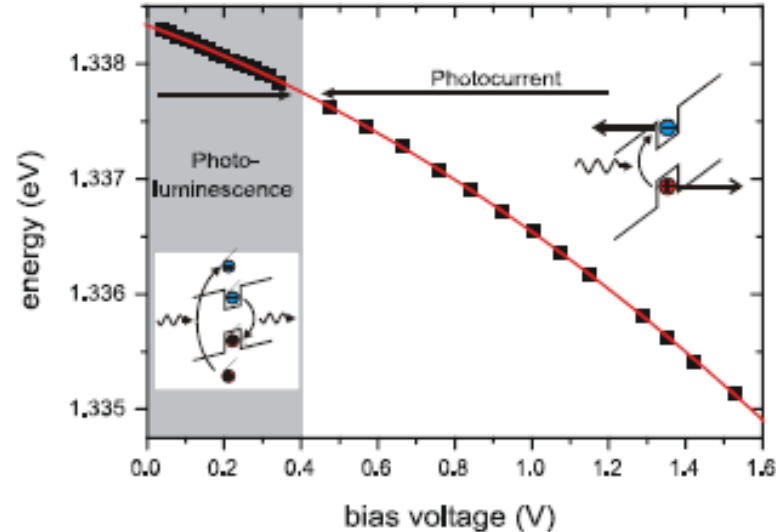


# Geladenen Exzitonen

## 8.4. Geladene Exzitonen



Photostrom ab ca.  
30 kV/cm



$$E_{exc} = E_g + E_{conf}^e + E_{conf}^h - E_b^{eh}$$

■ Quantum confined Stark effect

$$\Delta E_{conf}^{eh} \propto -m^* F^2 L^4$$

$$E_b^{eh}(F \neq 0) < E_b^{eh}(F = 0)$$

from 2. order perturbation theory  $H = H_0 + eFz$

(numerical solution required)

valid in the regime:  $\langle z_{eh}(F \neq 0) \rangle - \langle z_{eh}(F = 0) \rangle \ll F$

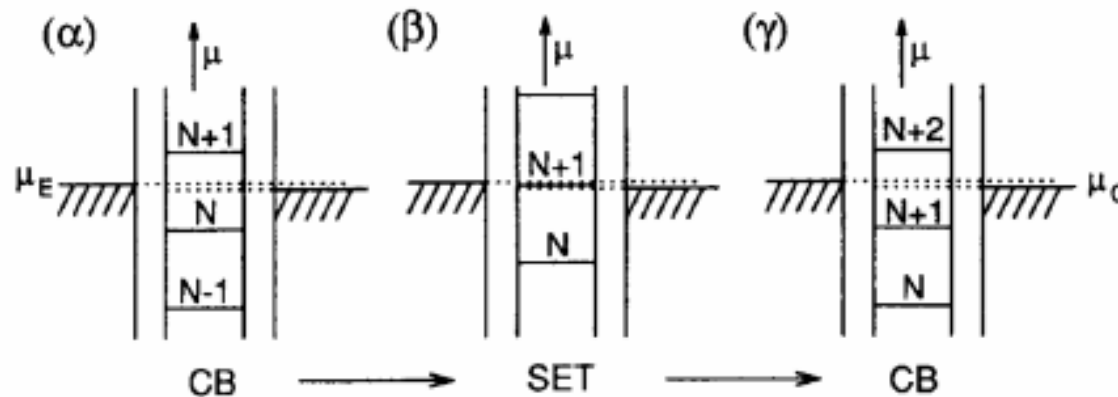
# Kondensator

Energy in a condenser:  $E = \frac{1}{2} C U^2$

Energy required to bring in  
one more electron:

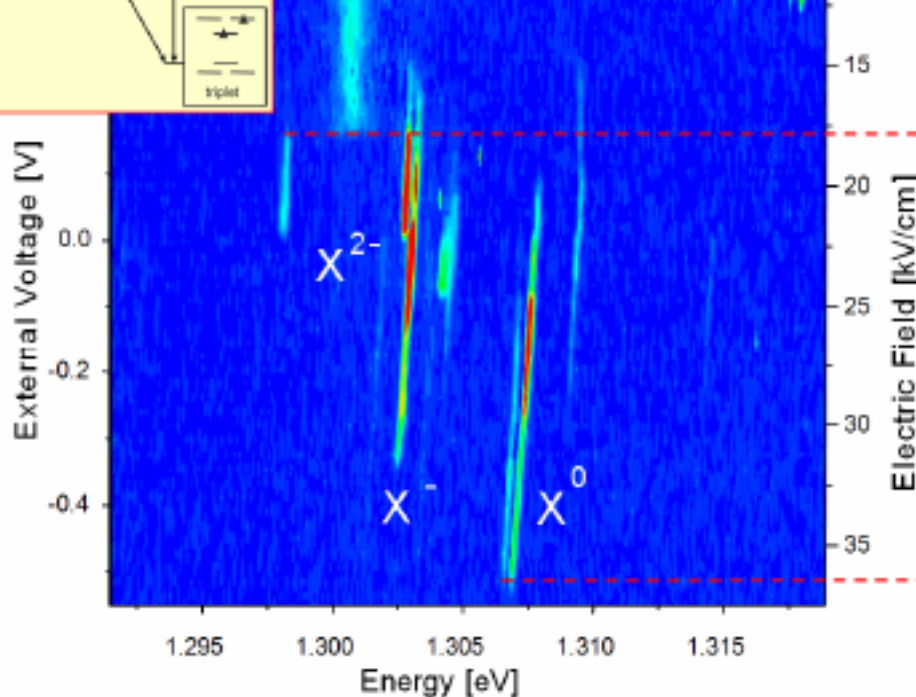
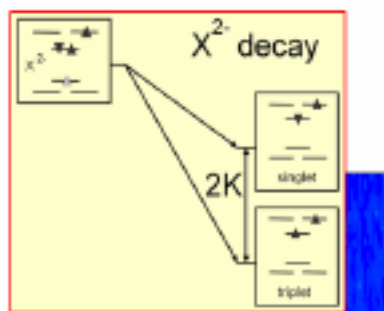
$$E_C = \frac{e^2}{2C}$$

with  $Q = CU$



Orderes of magnitude here:

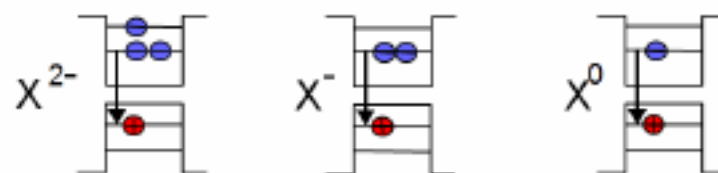
- $C \sim 5 \times 10^{-18} \text{ F}$
- $E_c \sim 20 \text{ meV}$



- WL filled with electrons

- Single electron charging:  
neutral, single and double  
charged single exciton  
states

- Tunnel escape of the  
carriers before  
recombination  
=> Photocurrent regime



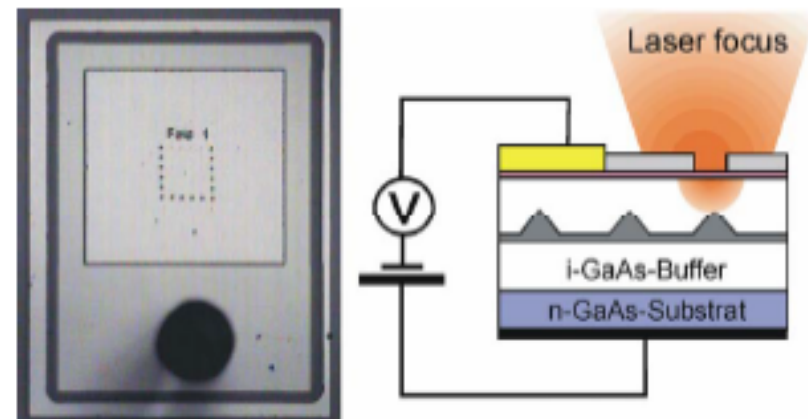
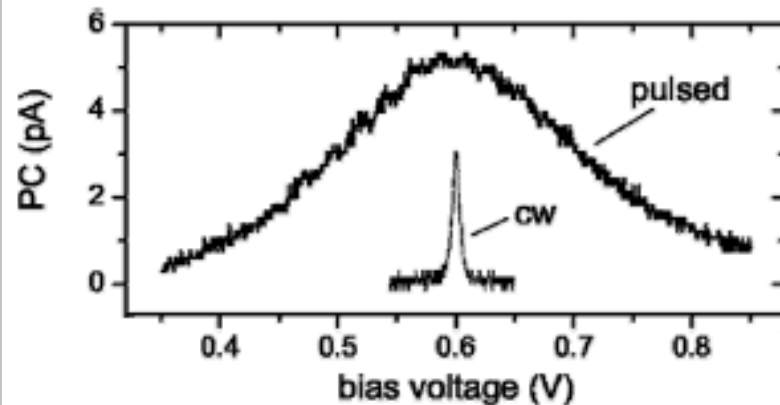
# Köhärente Eigenschaften von QDs

## 8.5. Kohärente Eigenschaften von Quantenpunkten

Betrachtete Proben:

Einzelquantenpunkt Photodioden

Spektrale Empfindlichkeit für resonante Laseranregung:  
(Detektion im Photostrom)

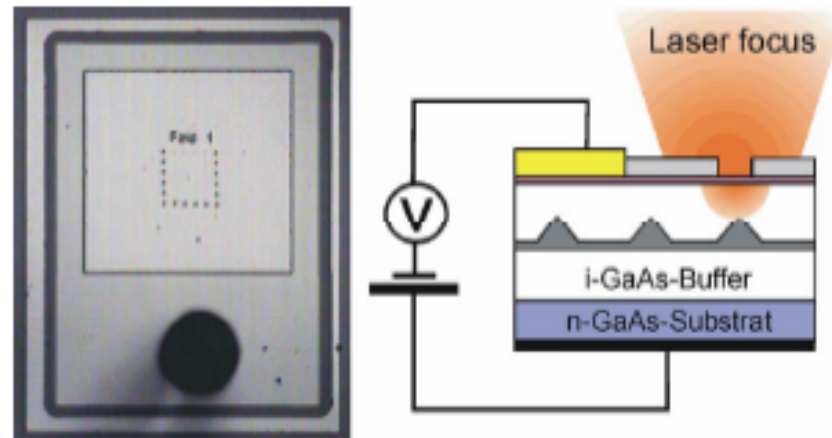
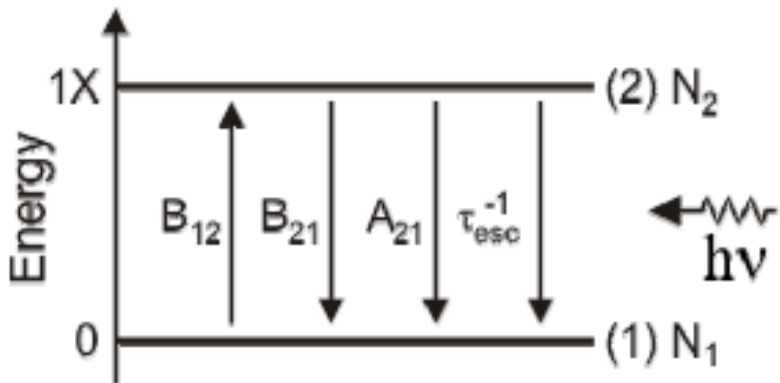


Elektrisch abstimmbarer "Spektrumsanalysator"

Abstimmung durch "quantum confined Stark effect" über Gatespannung  
(Empfindlichkeit etwa 2 meV / Volt)

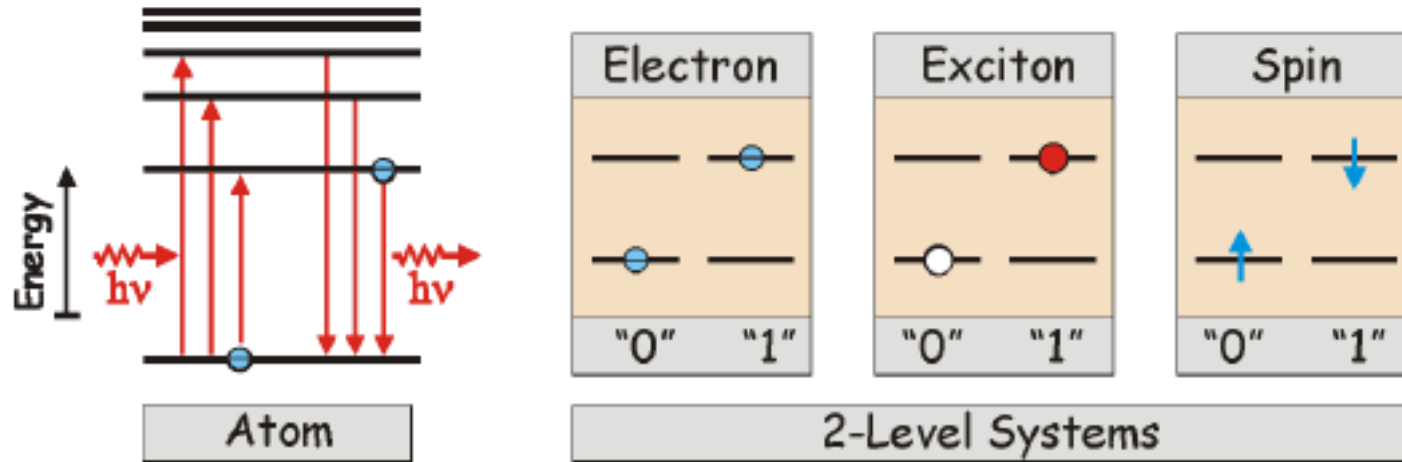
## Einzelquantenpunkt Photodiode = Quantenmechanisches 2-Niveau-System mit elektrischen Kontakten

Der Exziton Grundzustands-Übergang definiert ein 2-Niveau-System



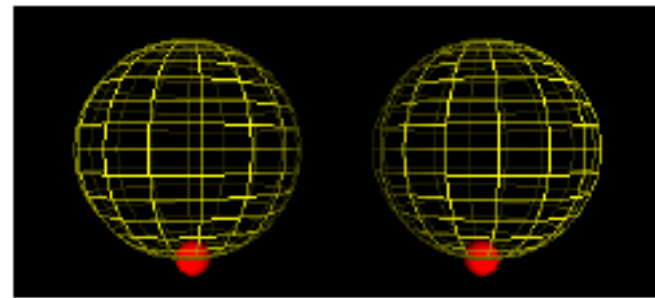
- Das 2-Niveau-System definiert ein Quantenbit (=Qubit)
- Die Messung des Qubit-Zustands (Projektion) erfolgt durch Tunneln
- Die Photostrom-Technik erlaubt eine Quantitative Messung der Besetzung

# Qubit



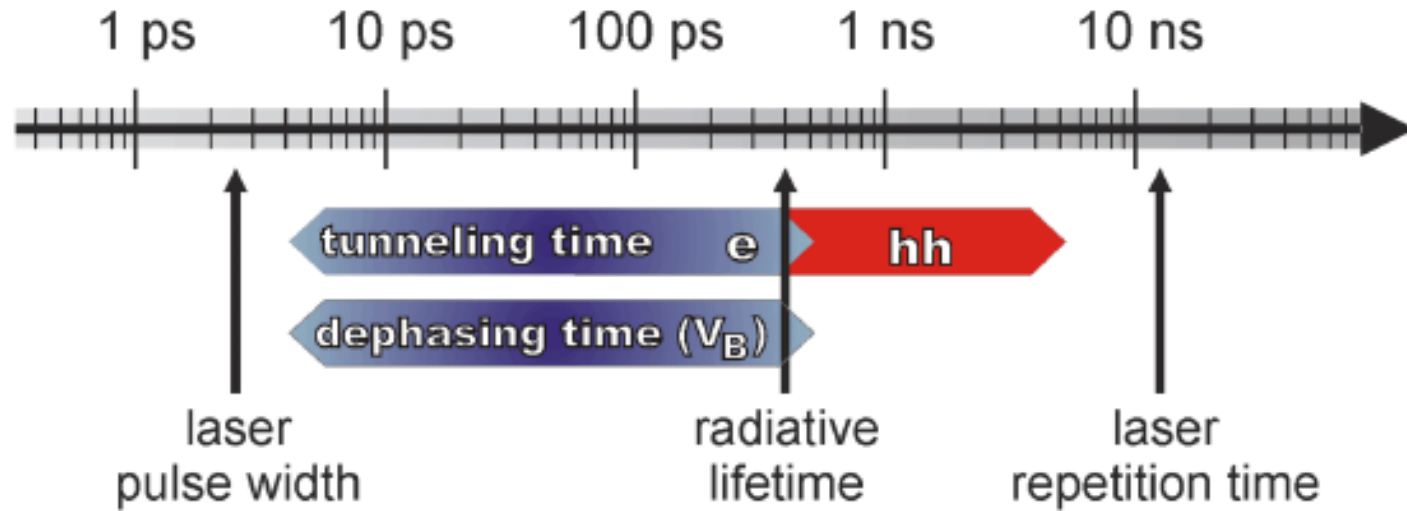
- Ein Exziton-Qubit ist eine kohärente Polarisation in einem Quantenpunkt-2-Niveau-System
- Das Exziton behält die Phase des anregenden Laserpulses (innerhalb der Dekohärenzzeit)
- Superpositionen der Zustände „0“ und „1“ sind möglich:
- Der Zustand  $\Psi$  eines Qubits kann wie folgt geschrieben werden:  

$$\Psi = \alpha |0\rangle + \beta |1\rangle \quad \text{with } \alpha \text{ and } \beta \in \mathbb{C}$$



Darstellung eines Qubit-Zustands auf der Blochkugel

## Time scale



### Current Experiments:

- $\tau_{\text{tunnel}}(V_B) \approx \tau_{\text{dephase}} \approx 10\text{-}300\text{ps} \rightarrow \text{Coherent excitation for } \tau_{\text{laser}} = 1\text{-}3 \text{ ps}$

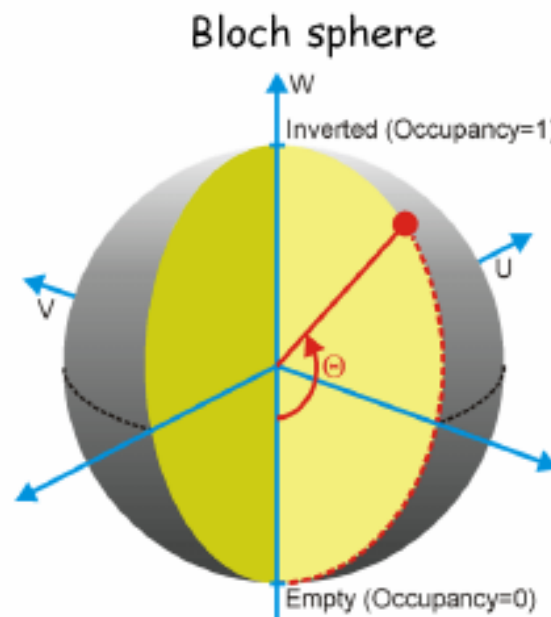
Low temperature dephasing times for InGaAs QDs:  $\tau_{\text{dephase}} \approx 500 \text{ ps}$  (limited by radiative decay)

P. Borri et al., Phys. Rev. Lett. **87**, 157401 (2001).

M. Bayer and A. Forchel, Phys. Rev. B **65**, 41308 (2002).

# Blochkugel

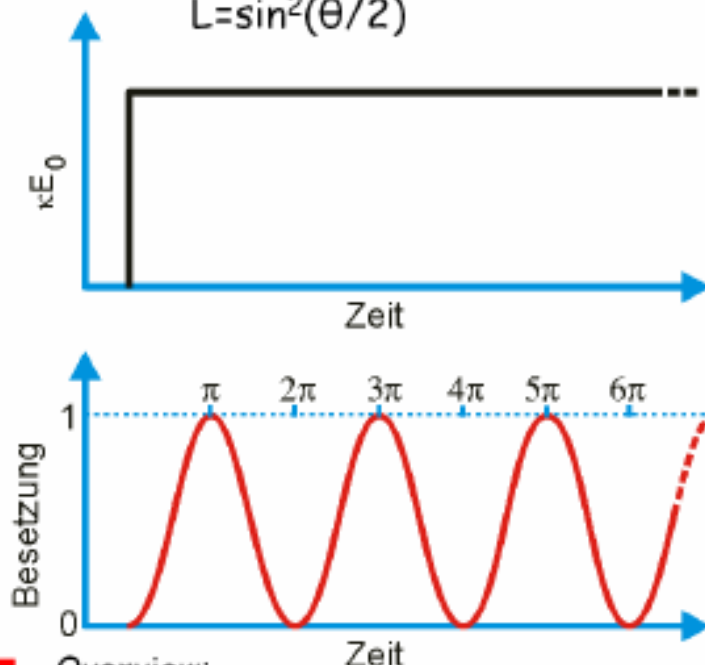
- Description in the framework of the optical Bloch theory



- Examples for "all optical" work in QDs:
- T. H. Stievater et al., Phys. Rev. Lett. 87, 133603 (2001).  
 H. Kamada et al., Phys. Rev. Lett. 87, 247401 (2001).  
 H. Htoon et al., Phys. Rev. Lett. 88, 087401 (2002).  
 P. Borri et al., PRB 66, 081306 (2002)

- Rotation angle:  
 $\Theta = \kappa \int E(t) dt$   
 „area theorem“

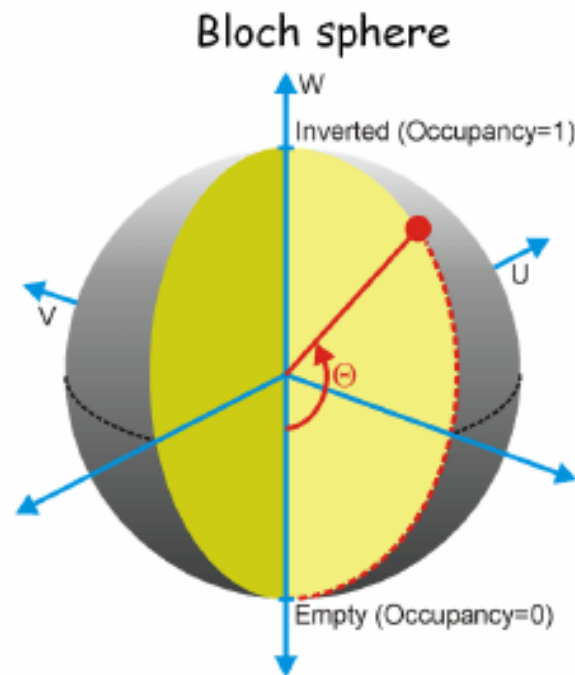
- Occupancy:  
 $L = \sin^2(\Theta/2)$



- Overview:
- L. Allen and J. H. Eberly, Optical Resonance and Two-Level Atoms (Wiley, New York, 1975).

# $\pi$ -puls

- Description in the framework of the optical Bloch theory

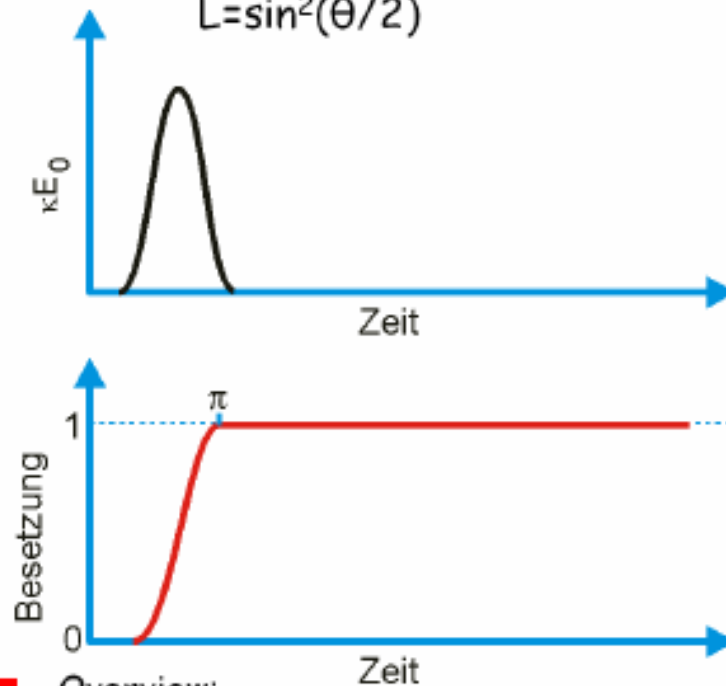


- Examples for "all optical" work in QDs:

T. H. Stievater et al., Phys. Rev. Lett. 87, 133603 (2001).  
 H. Kamada et al., Phys. Rev. Lett. 87, 247401 (2001).  
 H. Htoon et al., Phys. Rev. Lett. 88, 087401 (2002).  
 P. Barri et al., PRB 66,081306 (2002)

- Rotation angle:  
 $\theta = \kappa \int E(t) dt$   
 „area theorem“

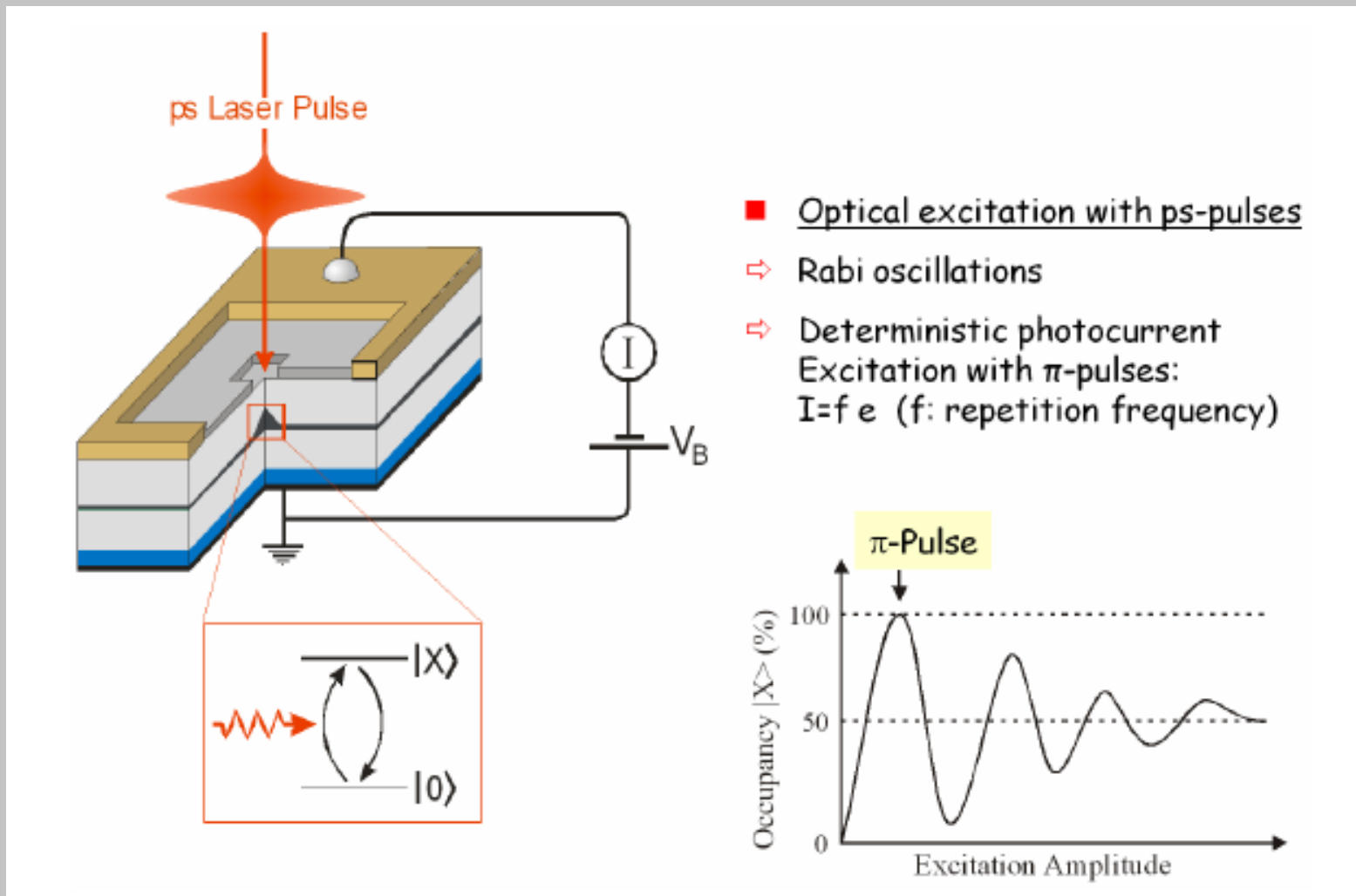
- Occupancy:  
 $L = \sin^2(\theta/2)$



- Overview:

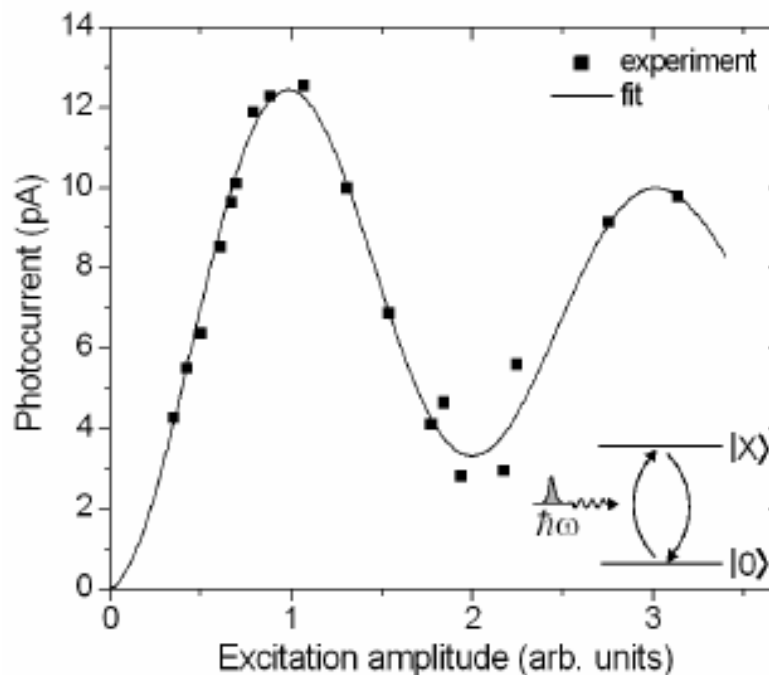
L. Allen and J. H. Eberly, Optical Resonance and Two-Level Atoms  
 (Wiley, New York, 1975).

# Rabi-Oszillation



# Rabi-Oszillation

Messung der Qubit-Besetzung: Rabi-Oszillationen



Maximum possible photocurrent:

$$I = f e = 13.1 \text{ pA} \quad (f=82 \text{ MHz})$$

Measured photocurrent:

$$I = 12.6 \text{ pA}$$

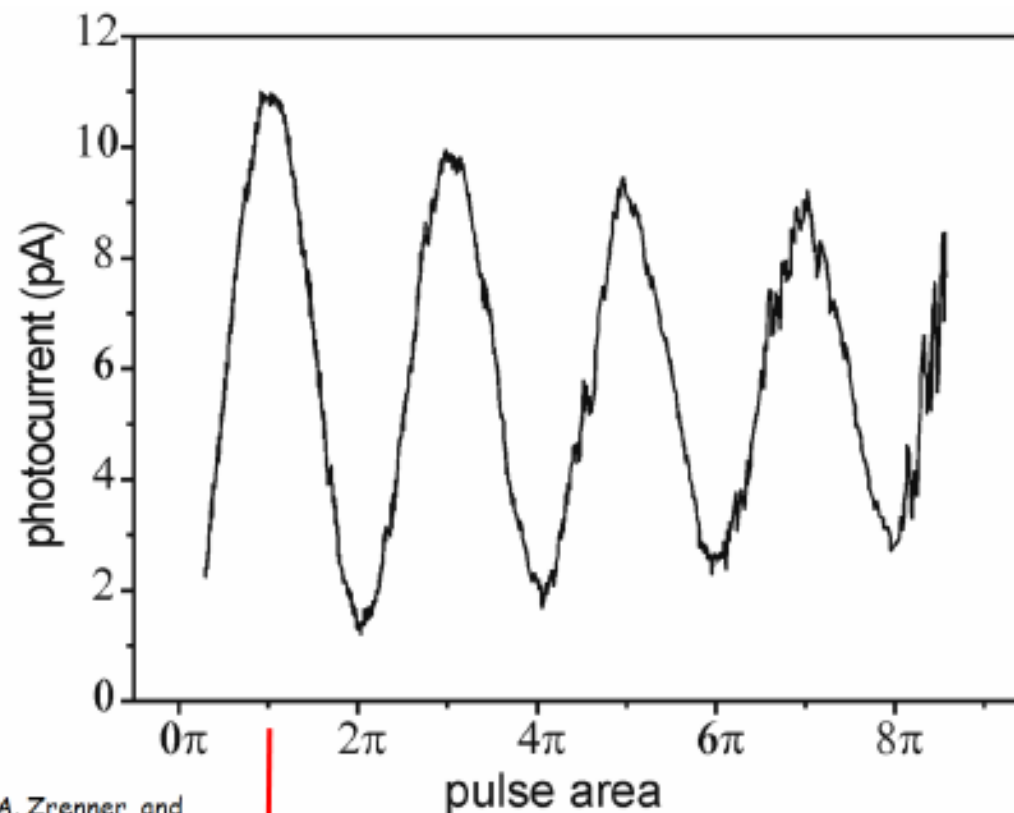
QuBit:

- ▶ Rotation by ps-pulse "0" to "1"
- ▶ Quantitative readout by tunneling
- ▶ Initialization: "X" to "0"

- Quantitative measurement of the occupancy in a single quantum system
- For  $\pi$ -pulse excitation: Optically triggered single electron source

A. Zrenner, E. Beham, S. Stufler, F. Findeis, M. Bichler, and G. Abstreiter, Nature 418, 612 (2002)

# Rabi-Oszillation



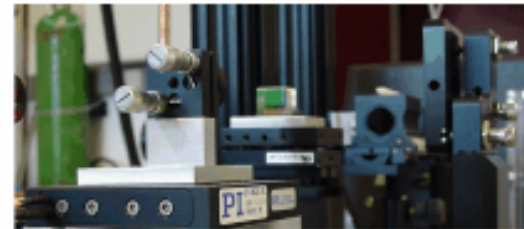
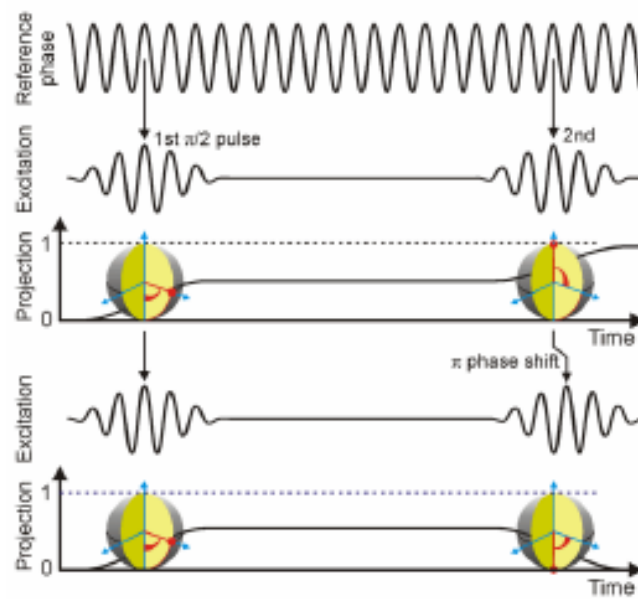
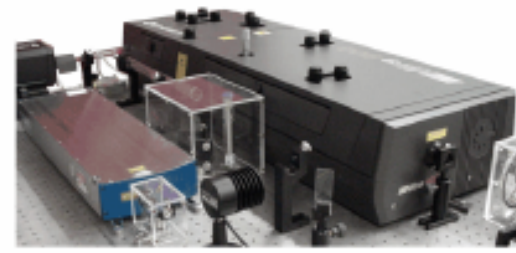
S. Stufler, P. Ester, A. Zrenner, and  
M. Bichler, Phys. Rev. B 72, 121301 (2005)

Damping:  
J. Förstner et al., PRL 91, 127401 (2003).  
J.M. Villas-Boas et al., PRL 94 057404 (2005):

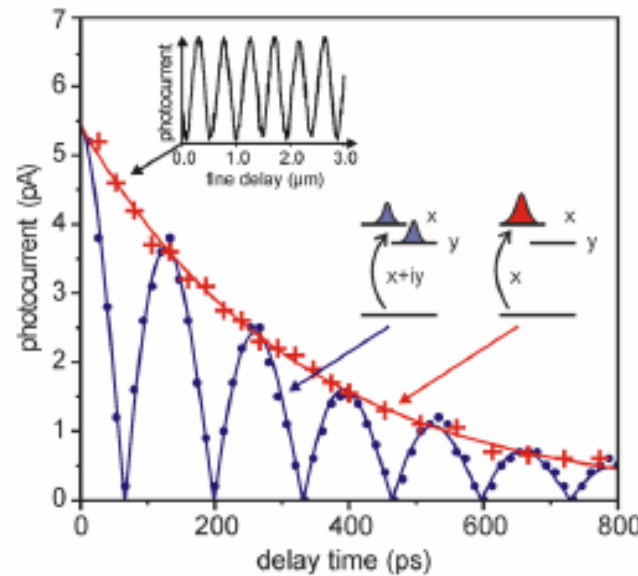
Number of photons per  $\pi$  pulse: 80000  
(incident on top of the shadow mask)

# Ramsey Experiment

Messung der Qubit-Phase: Ramsey Experiment



Michelson Interferometer



S. Stufler, P. Ester, A. Zrenner, and M. Bichler, Phys. Rev. B 72, 121301 (2005)

Diss Stufler 2005: <http://digital.ub.uni-paderborn.de/hs/content/titleinfo/3921>